

اثر استرونیسیوم در رسانایی پروسکیت‌ها

احمد نصیراحمدی^{*}، لیلا استحقاری^{**} و علی اکبر سودی^{***}

گروه مهندسی شیمی، دانشگاه زنجان

پژوهشگاه مواد و انرژی کرج

(دریافت مقاله: ۷۸/۵/۶ - دریافت نسخهٔ نهایی: ۷۹/۶/۱۰)

چکیده - ترکیبات لانتانیوم کرومیت LaCrO_3 ، لانتانیوم منگنیت LaMnO_3 و اکسید لانتانیوم آهن LaFeO_3 با روش سل-ژل به صورت پودر سنتز و پس از تلخیص و تکلیس پودرها به صورت قرص درآمده و در دماهای مختلف کلوفه‌سازی شدند. سپس رسانایی الکتریکی آنها در دماهای مختلف اندازه‌گیری شد و تأثیر آلاندۀ استرونیسیوم بر رسانایی الکتریکی مورد بررسی قرار گرفت. وجود درصد معینی از آلاندۀ موجب افزایش رسانایی الکتریکی می‌شود.

Effect of Strontium Dopant on Electrical Conductivity of Perovskites

A. Nasirahmadi, L. Esteghhari, and A. A. Soudi

Department of Chemical Engineering, University of Zanjan

Karaj Energy and Material Research Center

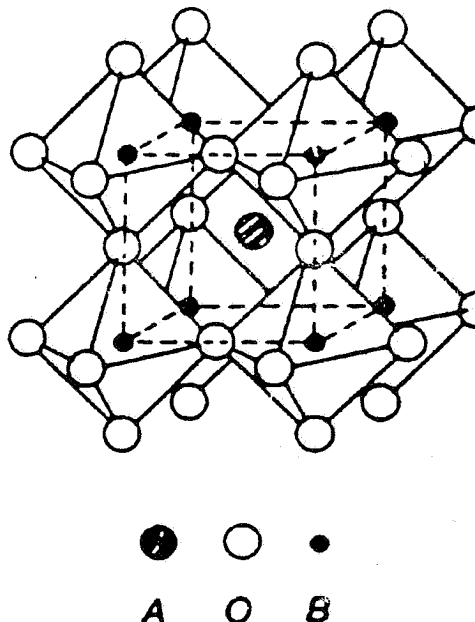
ABSTRACT- *The compounds, lanthanum chromite, lanthanum mangenite and lanthanum ferric oxide were prepared through sol-gel methods in powdered form, then calcinated, peletized, and sintered at various temperatures. Electrical conductivity of these compounds was measured at various temperatures. The effectiveness of strontium as a dopant on electrical conductivity was also investigated. Electrical conductivity enhancement was observed in doped compounds.*

- استاد

- مریب

- استادیار

۱- مقدمه



شکل ۱- توزیع اتمهای A، B و O در ساختار بلور پروسکیت

بارهای مثبت کمتری دارند حفره‌های زیادتری ایجاد می‌کنند که موجب رسانایی بیشتر می‌شود. استحکام زیادتر LaCrO₃ و LaMnO₃ و ناچیز بودن تغییرات انبساط دمایی، آنها را نسبت به سایر پروسکیت‌ها متمایز ساخته که موجب افزایش کاربرد آنها شده است به همین جهت این پژوهش بدانها اختصاص یافته است.

۲- آزمایش و اندازه‌گیری

مواد شیمیایی مورد استفاده: اکسید لانتانیوم (III) La₂O₃ استات منگنز (CH₃COO)₂Mn، 4H₂O نیترات‌های استرونیم، کبالت و آهن همه از فراورده‌های شرکت مِرک با خلوص زیاد، نیترات کروم Cr(NO₃)₃.9H₂O با خلوص ۹۷ درصد از شرکت فلوكا و سایر مواد نیز از همین دو شرکت تهیه شده‌اند.

روش سنتز- هر چند برای تهیه پروسکیت‌ها روش‌های متعددی وجود دارد ولی در اینجا برحسب فراهم بودن ابزار کار روش سل-ژل به کار گرفته شد که با استفاده از هیدرولیز ترکیب فلزی محلول در آب و تبدیل سل به ژل، محصول نهایی به دست می‌آید. در روش سل ژل ذرات بسیار ریز و یکنواخت از ترکیبات حاصل می‌شود. بدین ترتیب که اکسید لانتانیوم وزن شده در کمترین مقدار اسید نیتریک لازم به صورت ترکیب محلول در آب درآمد و اسید نیتریک زیادی تبخیر و نیترات لانتانیوم با نسبت مولی معینی با

پروسکیت‌ها ترکیباتی با فرمول شیمیایی ABO_3 هستند که در آن A کاتیونی است که شعاع بزرگتر دارد و B کاتیونی ترجیحاً از فلزات عناصر واسطه است. مجموع بارهای B,A شش واحد است و بار هر کدام از A,B با این قيد می‌تواند متفاوت باشد [۱]. پروسکیت‌ها به سبب داشتن ساختارهای لایه‌ای ناقص و وجود یونهای متعدد، گستره وسیعی از مواد با خواص فیزیکی متفاوت را در بر می‌گیرند که شامل تعداد زیادی از دیالکتریکها، فروالکتریکها با گذردگی زیاد و نیمرساناهای در دمای بالاست. با افزودن آلاینده‌های خاص به پروسکیت‌ها ابررساناهای متعدد با دمای بحرانی بالا ساخته می‌شوند [۲]. علاوه بر آن، این ترکیبات خواص دیگری نظیر پیزوالکتریسیته، پیروالکتریسیته، خواص نوری و نوری-الکتریسیته نیز از خود نشان می‌دهند. خواص ذکر شده به اضافه استحکام مکانیکی، موجب شده است که پروسکیت‌ها در زمرة مواد مهندسی جدید جای خود را به خوبی باز کنند. همه این خواص، ناشی از ساختار بلوری این ترکیبات است [۳].

ساختار بلوری پروسکیت‌های بدون نقص از سه آرایش هندسی متفاوت در درون شبکه بلوری تشکیل یافته است. آرایش کاتیونهای A از یک دیدگاه هر دو به صورت مکعب با ابعاد متفاوت است و اتمهای اکسیژن به شکل هشت وجهیهای منتظم در بین کاتیونها توزیع شده‌اند [۴]. از نظر تاریخی اولین ترکیب که نام گروه را نیز دارد CaTiO₃ است. ساختار کلی بسیاری از بلورهای ایده‌آل پروسکیتی در دمای متعارف مکعبی است که کاتیونهای B در رئوس و A در مرکز و اتمهای اکسیژن در مرکز وجوه قرار دارند، شکل (۱). با تغییر دما ساختار بلوری به صورت زیر تغییر می‌کند که دمای گذار به نوع پروسکیت بستگی دارد [۵].

رومبوهیدرال \Rightarrow اورتورمبیک \Rightarrow تتراتگونال \Rightarrow مکعب بلور کامل چندان خواص بارزی ندارد. نواقص بلوری که هم به صورت طبیعی و هم آگاهانه در آن پدید می‌آید سبب بروز خواص متمایز ذکر شده می‌شود. ارتباط بین ساختار بلور و خواص دیالکتریکی، پیزوالکتریکی و پیروالکتریکی پروسکیت‌ها اغلب براساس انحراف از تقارن مکعبی و خاصیت نیمرسانایی و رسانایی آن بر اساس نواقص بلوری از نوع شاتکی و فرنکل توجیه می‌شوند. آلاینده‌ها معمولاً جانشین A یا B می‌شوند و چون تعداد

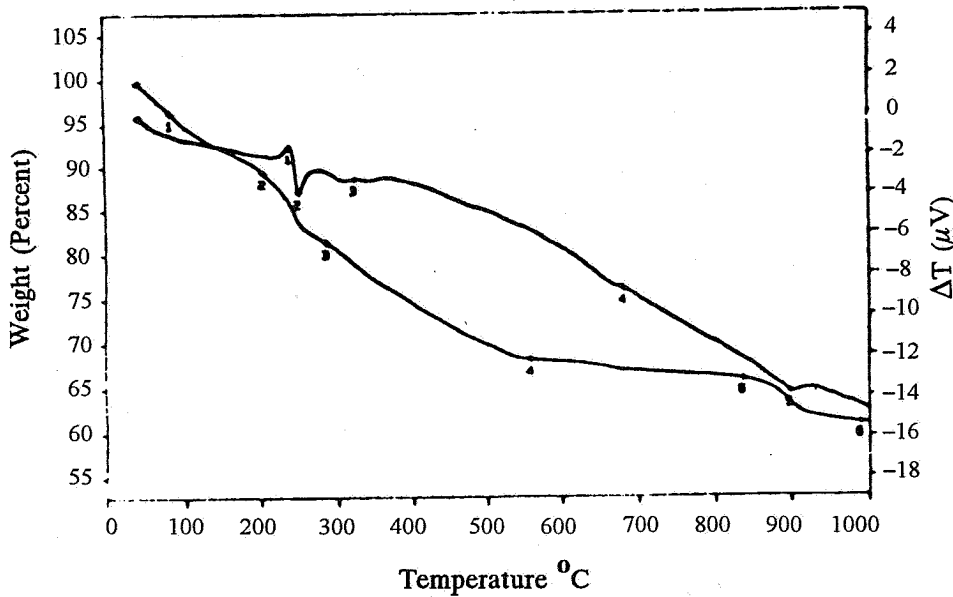
متعارف، رسانایی الکتریکی از خود نشان ندادند و کاملاً عایق بودند. اما با افزایش دما، رسانایی الکتریکی ظاهر شد. معمولیترين روش اندازه گیری رسانایی الکتریکی روش کاوش چهار نقطه‌ای^۱ است [۶]. برای اندازه گیری رسانایی الکتریکی در دماهای مختلف، قالب‌هایی از مواد دیرگذار برای قرار دادن قرص در آنها تهیه شد و جنس سیمه‌ای رسانای جریان نیز از نوع پلاتین انتخاب شد. اندازه گیری مقاومت و رسانایی الکتریکی توسط دستگاه FLuke 8010 A digital Multimeter آوری شده در دمای $100-110^{\circ}\text{C}$ به مدت hr 12-16 خشک شد.

۳- نتایج و بحث

الف - تحلیل گرمایی روش تحلیل گرمایی از دیر باز برای بررسی تغییرات دمایی سرامیکها به کار می‌رود و پدیده‌هایی نظر دماهای تصعید، ذوب، گذار بلوری و واکنش در حالت جامد به وسیله آن بررسی می‌شود. در اینجا بیشتر از این روش برای یافتن دمای کلسینه کردن و خروج مولکولهای آب تبلور استفاده شده است. دستگاه مورد استفاده مدل PL-STA 1640 شرکت پلیمر لابراتوری انگلستان است که با قراردادن قرص تهیه شده در دستگاه و افزایش تدریجی دما تغییرات درصد جرم بر حسب دما به صورت منحنی ساده و یا مشتق آن رسم شد و در شکل (۲) نشان داده شده است. دو شکستگی در منحنی دیده می‌شود که اولی مربوط به خروج تدریجی آب است که تا دمای 600°C کامل می‌شود (نقطه ۴) و تا 900°C تغییراتی دیده نمی‌شود (نقطه ۵). تغییر در دمای 850°C از سایر نمونه‌ها دمای 700°C انتخاب شد. کاهش وزن مشاهده شده حدود ۴۰ درصد بود و این کاهش وزن را می‌توان علاوه بر آب به اجزای فرار دیگر نظیر اکسیژن و نیتروژن که در لایه‌ای صفحات کریستال ممکن است گیر کرده باشند نیز نسبت داد. روش تحلیل گرمایی در بیشتر موارد به عنوان تکمیل کننده اطلاعات دیفراکتومتری به کار می‌آید.

ب - تحلیل پراش پرتو X دستگاه پراش سنج پرتوهای X (XRD) بارزترین ابزار برای تشخیص و شناسایی فازهای تشکیل شده در بلور است. در تحلیل به کمک این دستگاه با اندازه گیری 2θ مربوط به محل قله‌های طیف XRD می‌توان فواصل صفحات را مشخص

نیترات کروم آمیخته شد. نیترات استرونیم به عنوان آلاینده با نسبتهای مولی متفاوت بر آن افزوده شد. با اضافه کردن آمونیاک و تعديل دما و PH، اکسیدهای ترسیبی به صورت سل درآمده که با کاهش PH در اثر تبخیر آمونیاک اضافی به ژل تبدیل شد. جدا کردن ژل و شستشو با دقت انجام پذیرفت تا در نسبتهای مولی تغییرات قابل ملاحظه‌ای صورت نگیرد. غیر از اکسیدهایکه به صورت رسوب باقی می‌ماندند سایر ترکیبات کاملاً محلول بوده که با شستشو زیاد با دامنه خطای آزمایشی ناچیز حذف شدند. رسوب جمع آوری شده در دمای $100-110^{\circ}\text{C}$ به مدت hr 12-16 خشک شد. مراحل بالا برای ساختن تمام ترکیبات تهیه شده به کار گرفته شد و بر حسب نوع ترکیب تعديلات لازم صورت پذیرفت مثلاً در تهیه LaMnO_3 در مراحل اولیه ، حجم مشخصی از H_2O_2 به محلول تکلیس به کمک دستگاه آنالیز گرمایی (DTA/TC) مشخص شد. به منظور همگن کردن بیشتر برای شکل دهنی پودر تکلیس شده مجدداً آن را در هاون ساییده، آن گاه بعد از توزین شدن تحت فشار نهایی $1.5-2 \text{ ton/cm}^2$ به صورت قرص درآمد و در فشارهای 1600°C که دمای قابل قبول برای این هواگیری شد. فرصلهای تهیه شده در قالبی که برای این کاراز مواد نسوز تهیه شده بود در دمای 700°C تکلیس شد. دمای منظور بود به مدت یک ساعت در کوره قرار داده شد تا عمل رشد شبکه‌ای (کلوفسازی) صورت گیرد. از ترکیبی که به این صورت به دست آمد برای تشخیص و شناسایی نوع فازهای تشکیل شده از طیف پراش پرتوایکس (دستگاه دیفراکتومتر پرتو ایکس مدل D-500) ساخت شرکت زیمنس با لامپ مس) استفاده شد و از مقایسه میزان پیشرفت کلوفه شدن از روی طیفها، دمای بهینه کلوفه شدن تعیین شد. بعداز اطمینان از تشکیل فاز مورد نظر به علت اهمیت و دقیقی که برای کارهای بعدی لازم بود برای تعیین اختلاف در استوکیومتری مواد و اینکه تا چه حد روی شدت و محل پیکهای طیف XRD تأثیر می‌گذارد از دستگاه دیفراکتومتر پرتوایکس مدل PW-3710 شرکت فیلیپس با لامپ مس استفاده شد. در اکثر موارد، نمونه‌های تهیه شده به صورت تک فاز بوده است که با اندازه گیری چگالی نمونه‌ها و مقایسه با موارد نظری درصد تخلخل نمونه به دست آمد. نمونه‌های یک فاز پالایش شده معمولاً در دمای



شکل ۲- منحنیهای TG و DTA ترکیب پروسکیت

تکاملی بلورهاست. وقتی دما- زمان زیاد شود فرایندهای جانبی مثل اکسیده شدن کرومیت لاتانیوم و به دنبال آن تبخیر اکسید کروم منتج به ترسیب آن شده است که به صورت فاز اضافی ظاهر شد [۹]. چون در XRD سیستم به صورت تک فازی دیده می شود پیدایش پدیده بالا در حدی است که قابل تشخیص نیست.

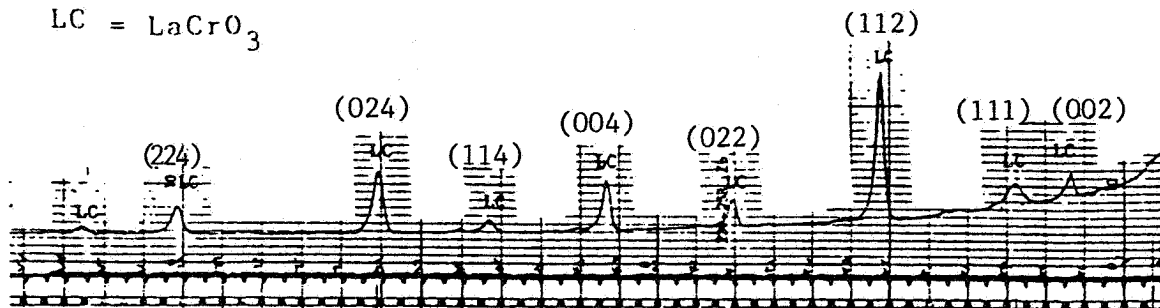
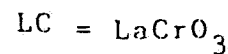
ج- رسانایی الکتریکی رسانایی الکتریکی σ بر حسب تابعی از دما برای نمونه های $\text{La}_{1-x}\text{Sr}_x\text{CrO}_3$ در محدوده ترکیب $x=0, 0.1, 0.2, 0.3, 0.4, 0.5$ و همتای منگنیتی آن با $x=0.1$ فریتی با $x=0.1$ اندازه گیری شده است. گستره تغییرات دما برای همه نمونه ها از 25°C تا 1000°C بود. تغییرات رسانایی بر حسب تغییرات دما از معادله ای مانند معادله آرنیوس پیروی می کند که به صورت معادله (۱) بیان می شود [۶].

$$\sigma = \frac{\sigma_0}{T} e^{-E_a/kT} \quad (1)$$

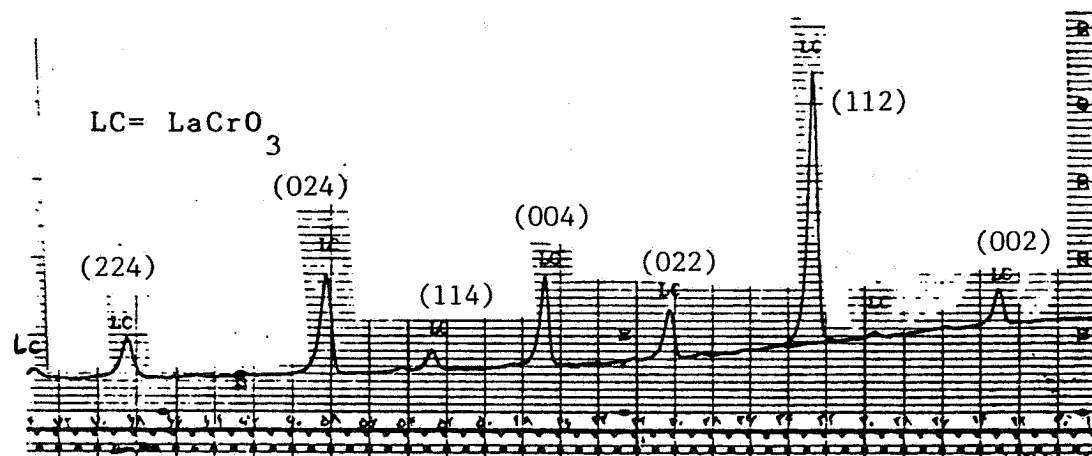
که در آن σ_0 مقداری ثابت و E_a انرژی فعال سازی است. شکل (۱۰) تغییرات رسانایی الکتریکی (مقیاس لگاریتمی) بر حسب درصد مولی آلاینده را در دماهای 500°C و 1000°C نشان می دهد. ملاحظه می شود که با افزایش درصد آلاینده رسانایی نیز افزایش می یابد. وقتی آلاینده M با دوبار مثبت در مکان یون با سه بار مثبت

کرد و با مقایسه با کارتهای استاندارد نوع فاز را تشخیص داد. شکل های (۳) تا (۶) طیفهای XRD را در دماهای ذکر شده برای نمونه هایی از LaCrO_3 نشان می دهند. مشاهده می شود که در کلیه شکل های ترکیب مورد نظر به صورت تک فاز تشکیل شده است، اما شدت فاز با افزایش دمای کلوفه نیز افزایش می یابد و نشان می دهد که برای تکمیل کلوفه شدن به دماهای بالاتری نیاز است. همین پدیده برای LaFeO_3 و LaMnO_3 در طیفهای شکل های (۷) و (۸) نشان داده شده اند. منحنیهای شکل (۹) طیف مربوط به افزایش آلاینده Sr با مقادیر درصد مولی متفاوت است. ملاحظه می شود که آلاینده Sr با مقادیر درصد مولی متفاوت است. ملاحظه می شود که افزایش آلاینده تغییری در الگوی پراش و به تبع آن در ساختار بلور ایجاد نکرده است و در این دما ساختار اورتورمبیک حفظ شده است. با افزودن آلاینده عمل کلوفه شدن بهبود می یابد و این نتیجه را می توان با محاسبه پارامترهای بلور [۷] و اندازه گیریهای چگالی مربوطه [۸] که در جدول (۱) نشان داده شد، مشاهده کرد.

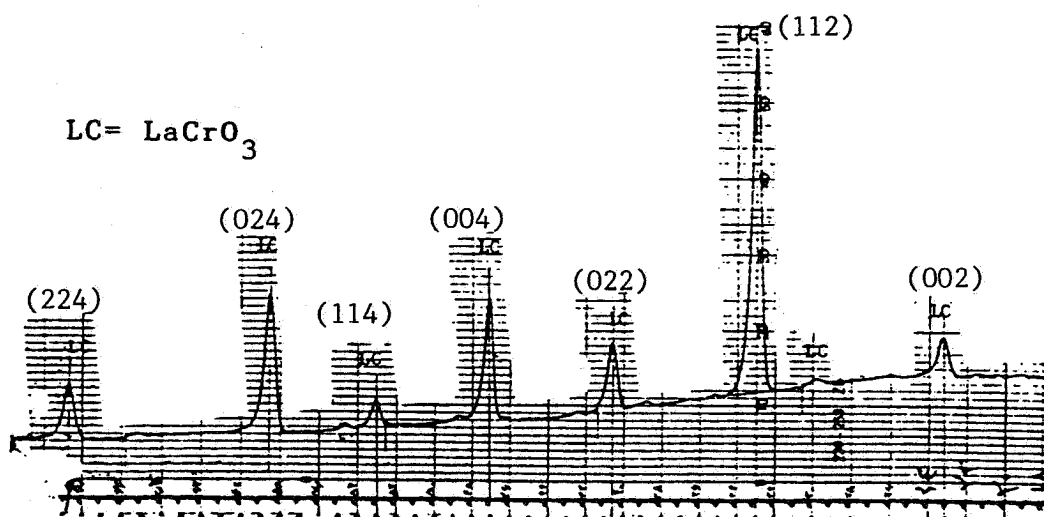
باقی ماندن سیستم تک فازی با افزودن آلاینده به خوبی نشان می دهد که جایگزینی آلاینده با کاتیون اصلی به نحو مطلوبی صورت گرفته است و کاهش حجم یاخته واحد ناشی از جایگزینی یون کوچکتر آلاینده به جای یون بزرگتر A است. در جدول (۲) درصد چگالی نظری و درصد تخلخل بلور برای ترکیبات ذکر شده حساب شده است [۸] و نشانگر میزان پیشرفت کلوفه شدن و سیر



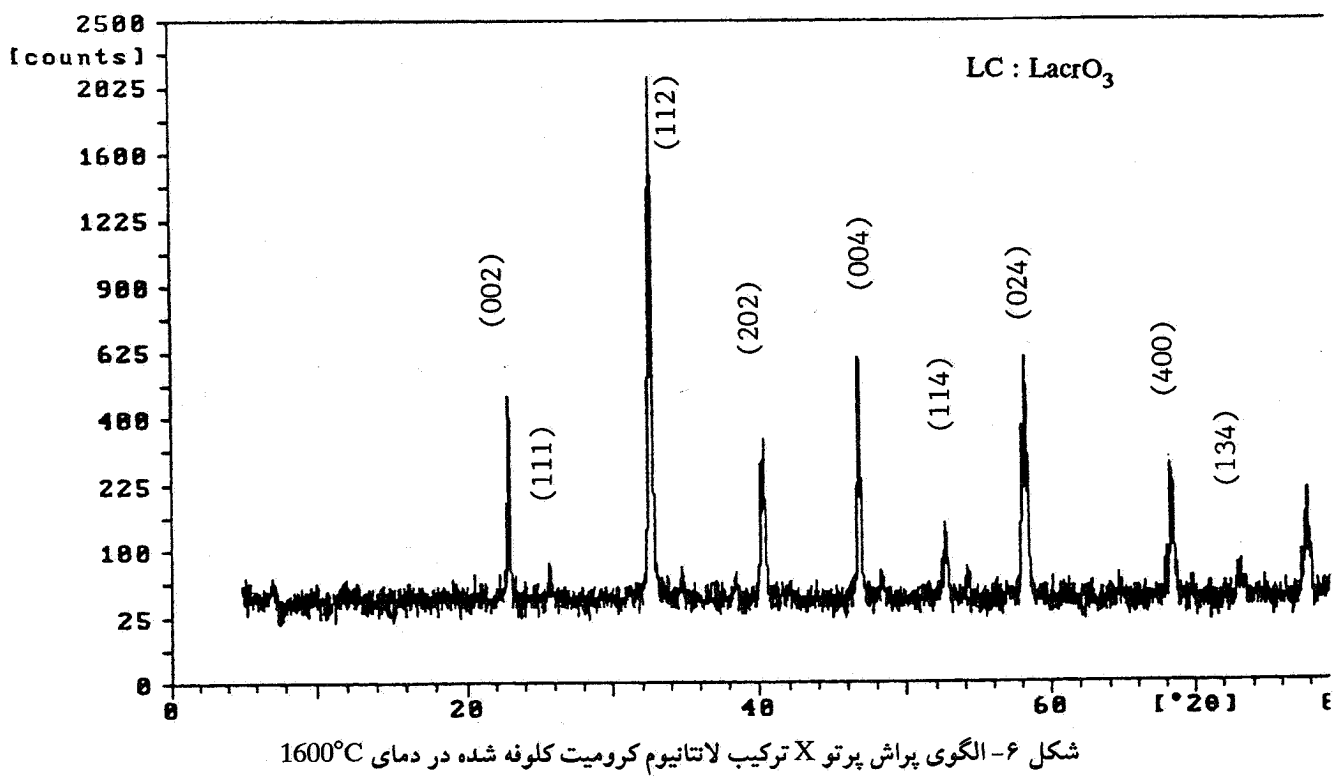
شکل ۳- الگوی پراش پرتو X ترکیب لاتانیوم کرومیت کلوفه شده در دمای $1100^{\circ}C$



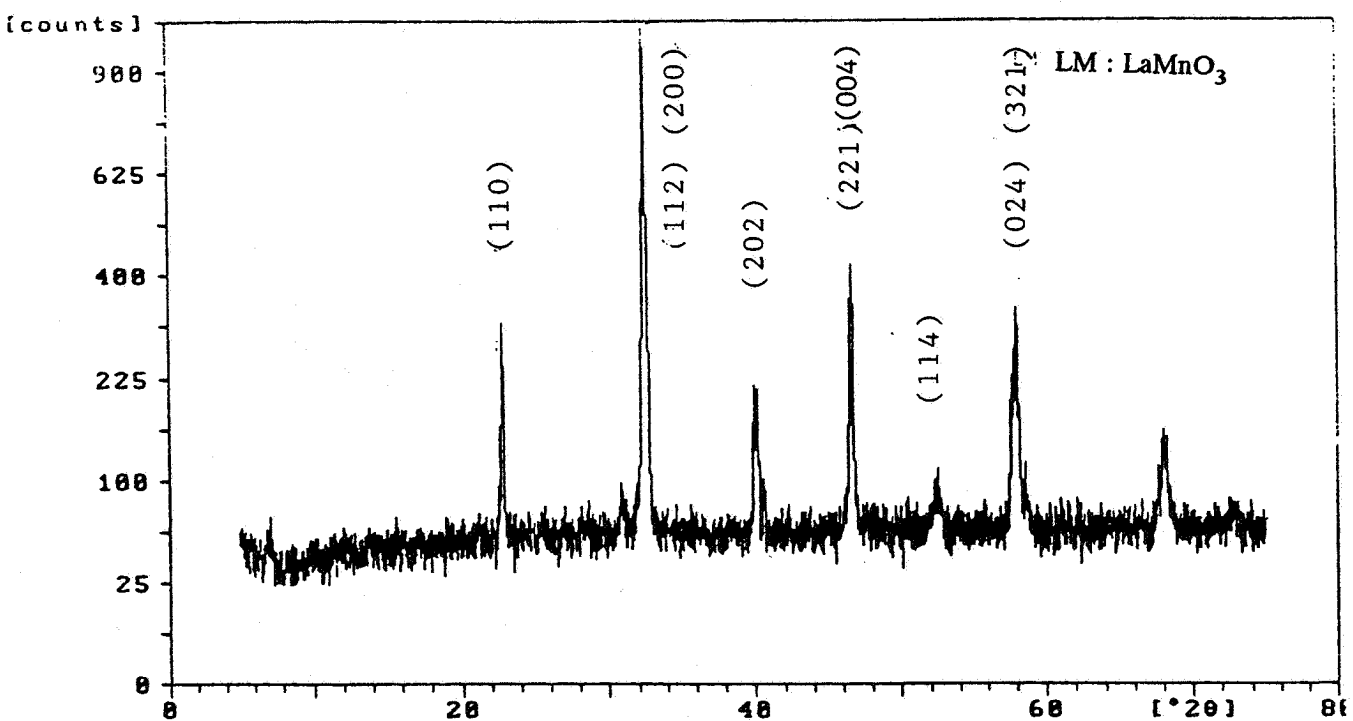
شکل ۴- الگوی پراش پرتو X ترکیب لاتانیوم کرومیت کلوفه شده در دمای $1300^{\circ}C$



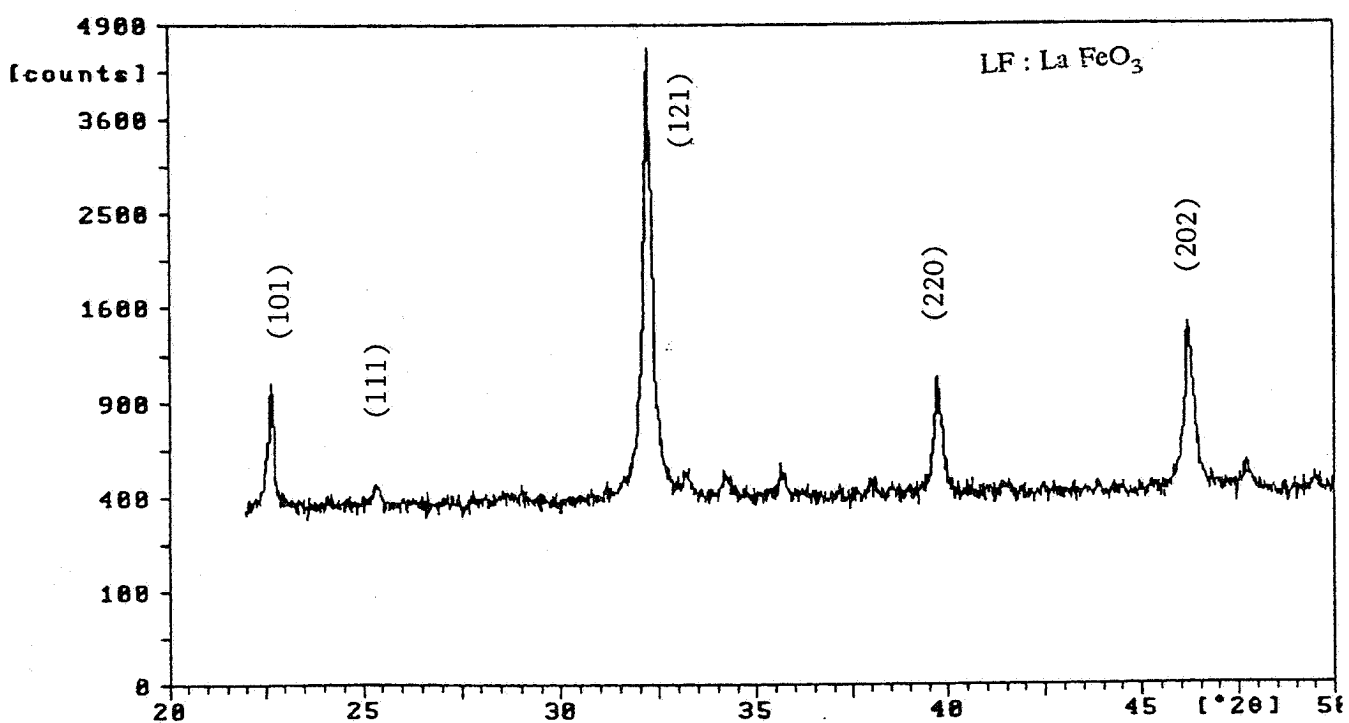
شکل ۵- الگوی پراش پرتو X ترکیب لاتانیوم کرومیت کلوفه شده در دمای $1450^{\circ}C$



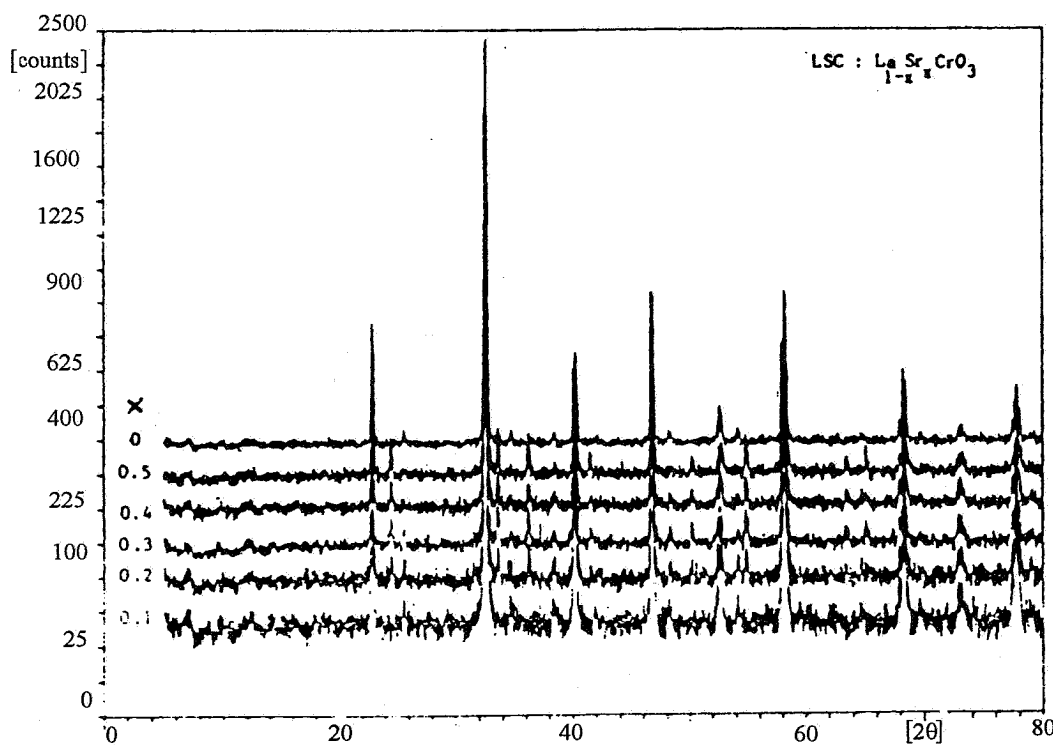
شکل ۶- الگوی پراش پرتو X ترکیب لاتانیوم کرومیت کلوفه شده در دمای 1600°C



شکل ۷- الگوی پراش پرتو X ترکیب لاتانیوم منگیت کلوفه شده در دمای 1600°C



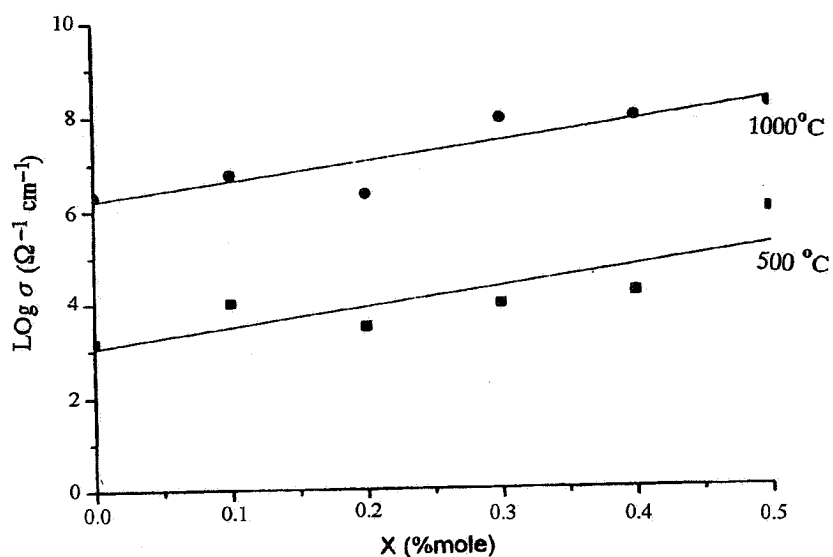
شکل ۸- الگوی پراش پرتو X ترکیب لاتانیوم اورتوفریت کلوفه شده در دمای ۱۶۰۰°C



شکل ۹- الگوی پراش پرتو X ترکیب لاتانیوم کرومیت با مقادیر مختلف آلیندہ

جدول ۱- محاسبه پارامترهای شبکه، حجم و چگالی با استفاده از الگوهای پراش پرتو X

| ۶ | ۵ | ۴ | ۳ | ۲ | ۱ | شماره نمونه |
|--|--|--|--|--|--------------------|-----------------------------|
| La _{0.5} Sr _{0.5} CrO ₂ | La _{0.6} Sr _{0.2} CrO ₂ | La _{0.7} Sr _{0.2} CrO ₂ | La _{0.8} Sr _{0.2} CrO ₂ | La _{0.8} Sr _{0.1} CrO ₂ | LaCrO ₂ | فرمول نمونه |
| ۳۲/۶۲۰ | ۳۲/۶۱۵ | ۳۲/۶۰۰ | ۳۲/۶۰۰ | ۳۲/۵۶۰ | ۳۲/۶۳۵ | Angle (θ) |
| ۴۶/۷۵۰ | ۴۶/۷۲۰ | ۴۶/۷۰۰ | ۴۶/۷۱۰ | ۴۶/۶۷۰ | ۴۶/۷۳۵ | |
| ۵۸/۳۲۰ | ۵۸/۲۶۰ | ۵۸/۲۵۰ | ۵۸/۲۶۰ | ۵۸/۲۲۰ | ۵۸/۲۸۰ | |
| ۲/۷۴۱۲ | ۲/۷۴۲۲ | ۲/۷۴۴۰ | ۲/۷۴۴۱ | ۲/۷۴۷۷ | ۲/۷۲۱۶ | d-value [Å] |
| ۱/۹۴۱۵ | ۱/۹۴۲۷ | ۱/۹۴۲۲ | ۱/۹۴۳۱ | ۱/۹۴۲۶ | ۱/۹۴۲۱ | |
| ۱/۵۰۸۴ | ۱/۵۸۲۲ | ۱/۵۸۲۶ | ۱/۵۸۲۲ | ۱/۵۸۳۴ | ۱/۵۸۱۹ | |
| ۱۰۰ | ۱۰۰ | ۱۰۰ | ۱۰۰ | ۱۰۰ | ۱۰۰ | |
| ۳۲/۴ | ۲۹/۱ | ۳۰/۷ | ۲۲/۱ | ۲۱/۷ | ۲۸/۷ | |
| ۲۰/۱ | ۲۲/۷ | ۲۴/۶ | ۲۲/۰ | ۲۰ | ۲۶/۹ | |
| ۱۱۲ | ۱۱۲ | ۱۱۲ | ۱۱۲ | ۱۱۲ | ۱۱۲ | ... |
| ۰۰۴ | ۰۰۴ | ۰۰۴ | ۰۰۴ | ۰۰۴ | ۰۰۴ | |
| ۲۰۴ | ۲۰۴ | ۲۰۴ | ۲۰۴ | ۲۰۴ | ۲۰۴ | |
| ۵/۲۲۹ | ۵/۴۰۳ | ۵/۴۰۴ | ۵/۲۰۰ | ۵/۲۰۶ | ۵/۴۰۴ | پارامترهای شبکه [Å] |
| ۵/۰۰۱ | ۵/۰۰۳ | ۵/۰۰۹ | ۵/۰۱۰ | ۵/۰۱۷ | ۵/۴۹۲ | b |
| ۷/۷۶۶ | ۷/۷۷۱ | ۷/۷۷۲ | ۷/۷۷۳ | ۷/۷۷۸ | ۷/۷۶۸ | c |
| ۲۳۲/۸ | ۲۳۳/۲ | ۲۲۳/۵ | ۲۲۳/۶ | ۲۳۴/۱ | ۲۲۲/۷ | حجم سلول واحد V [Å] |
| ۶/۱ | ۶/۲۳ | ۶/۳۶ | ۶/۰ | ۶/۶۴ | ۶/۸۲ | چگالی (gr/cm ²) |



شکل ۱۰- تغییرات رسانایی الکتریکی ترکیبات لاتانیوم کرومیت حاوی آلائیند استراتسیوم در دماهای ۵۰۰°C و ۱۰۰۰°C

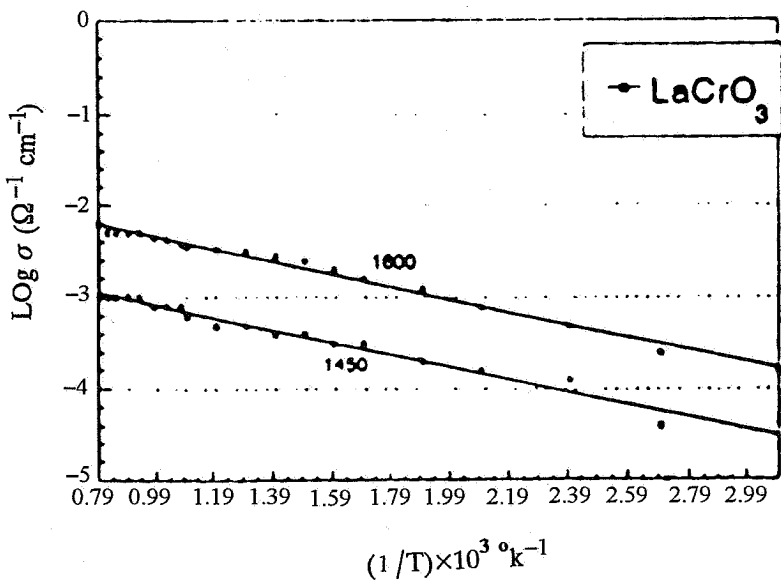
جدول ۲- چگالی، درصد تخلخل نمونه‌ها با توجه به دمای کلوفه آنها

| شماره نمونه | فرمول نمونه | دمای زیتر | چگالی | چگالی نظری | درصد تخلخل |
|-------------|--|-----------|-------|------------|------------|
| ۱ | LaCrO ₂ | ۱۱۰۰ | ۲/۹۹ | %۴۵ | %۳۵ |
| ۲ | LaCrO ₂ | ۱۳۰۰ | ۳/۶۹ | %۵۵ | %۲۸ |
| ۳ | LaCrO ₂ | ۱۴۵۰ | ۳/۹۶ | %۵۹ | %۲۳/۱ |
| ۴ | LaCrO ₂ | ۱۶۰۰ | ۴/۴۶ | %۶۶ | %۱۹/۶ |
| ۵ | La _{0.9} Sr _{0.1} CrO ₂ | ۱۶۰۰ | ۴/۶ | %۶۹ | %۱۷/۲ |
| ۶ | La _{0.8} Sr _{0.2} CrO ₂ | ۱۶۰۰ | ۴/۷۵ | %۷۲ | %۱۶/۵ |
| ۷ | La _{0.7} Sr _{0.3} CrO ₂ | ۱۶۰۰ | ۴/۸۱ | %۷۵ | %۱۴/۴ |
| ۸ | La _{0.6} Sr _{0.4} CrO ₂ | ۱۶۰۰ | ۴/۸۹ | %۷۸ | %۱۲/۳ |
| ۹ | La _{0.5} Sr _{0.5} CrO ₂ | ۱۶۰۰ | ۴/۸۹ | %۸۰ | %۱۱/۶ |
| ۱۰ | LaMnO ₂ | ۱۶۰۰ | ۵/۸ | %۸۸ | %۸/۳ |
| ۱۱ | La _{0.9} Sr _{0.1} MnO ₂ | ۱۶۰۰ | ۶ | %۹۱ | %۷/۸ |
| ۱۲ | LaFeO ₂ | ۱۶۰۰ | ۶/۳ | %۹۵ | %۶/۱ |
| ۱۳ | La _{0.9} Sr _{0.1} FeO ₂ | ۱۶۰۰ | ۶/۵ | %۹۸ | %۵/۳ |

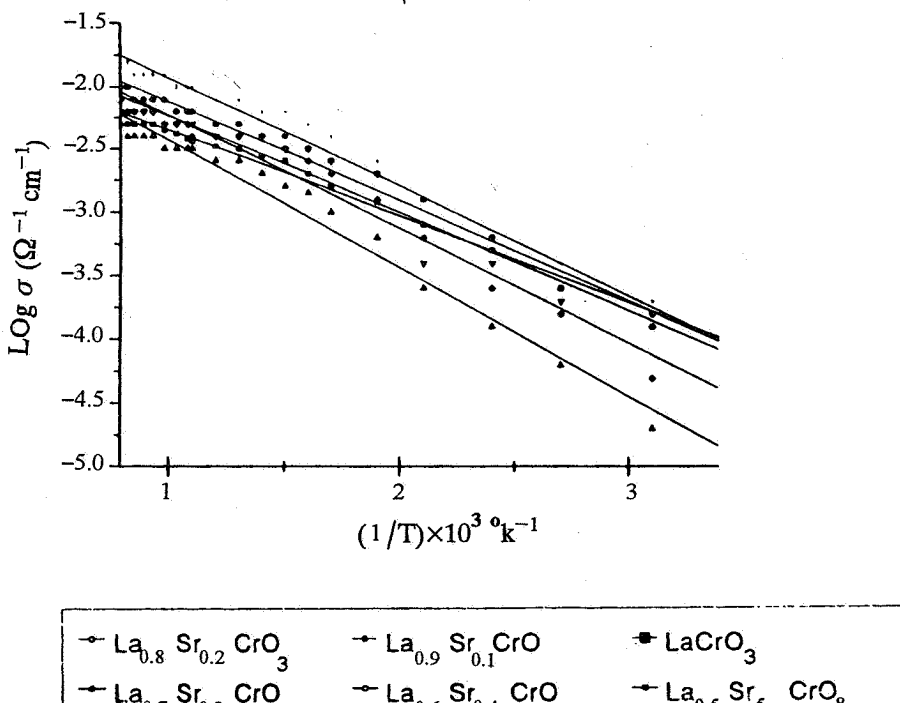
افزایش دما و آلاینده‌ها را به راحتی توجیه کرد [۱۱]. افزایش آلاینده تا حد معینی موجب افزایش رسانایی می‌شود و از آن حد به بعد تغییر ابعاد بلور از آزادی عمل آلاینده با توجه به نوع و شعاع آن جلوگیری می‌کند و باعث کاهش رسانایی می‌شود. باید توجه داشت که وقتی درصد آلاینده از یک حد معینی تجاوز کند دیگر به عنوان آلاینده عمل نمی‌کند بلکه به صورت سازنده اصلی است که یون سه‌شده عوامل موثر در رسانایی شامل اندازه دانه‌ها، چگالی و ریز ساختار ترکیب در تشکیل مرز بین دانه‌های بلور نیز هست. در شکل‌های (۱۲) تا (۱۷) منحنی رسانایی بر حسب $\frac{1}{T}$ نشان داده شده است که با معادله (۱) سازگار است. مقادیر انرژی فعال سازی در گستره ۰/۰ تا ۱۸/۰ الکترون ولت محاسبه شده‌اند. مشاهده می‌شود که مقدار انرژی فعال سازی برای آلاینده با $x=0.5$ نسبت به بقیه ترکیب درصدها همان طور که پیش بینی می‌شد کمتر است یعنی با کاهش انرژی فعال سازی ناقلل جریان راحت‌تر حرکت می‌کند و موجب بیشتر شدن رسانایی می‌شوند. تغییرات انرژی فعال سازی نسبت به مقدار x در شکل (۱۸) نشان داده شده است که کاملاً گویای تغییرات ذکر شده است.

لانتانیوم جای گیرد، در ترکیب تراکم بار ایجاد می‌شود و تعدادی از یونهای کروم سه بار مثبت طبق معادله (۲) به اتمهای کروم با چهار بار مثبت تبدیل می‌شوند.





شکل ۱۱- تغییرات رسانایی الکتریکی ترکیب لانتانیوم کرومیت خالص بر حسب دمای کلوفه



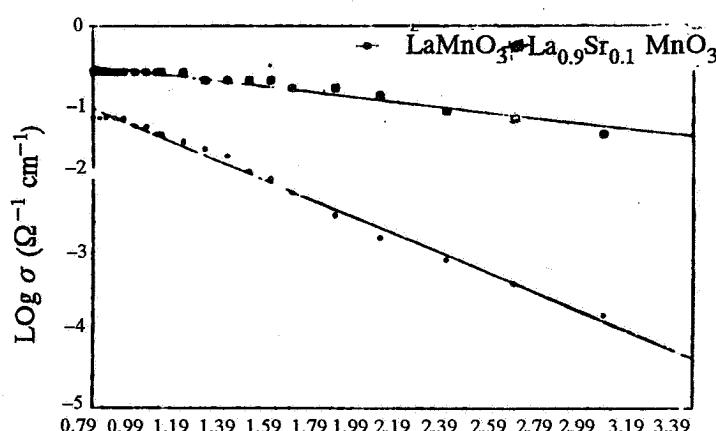
شکل ۱۲- نمودار $\log \sigma$ بر حسب عکس دما برای نمونه های $\text{La}_{1-x}\text{Sr}_x\text{CrO}_3$ با $x=0-0.5$

نتایج حاصله را می توان چنین خلاصه کرد :

- ۱- در سنتز ترکیبات پروسکیت به روش سل ژل دانه بندی به دست آمده کاملاً ریز و یکنواخت است.
- ۲- الگوهای پراش پرتو X نمونه های سنتز شده تقریباً یکسان بوده و در کلیه این الگوها نمونه مورد نظر به صورت تک فاز تشکیل می شود.

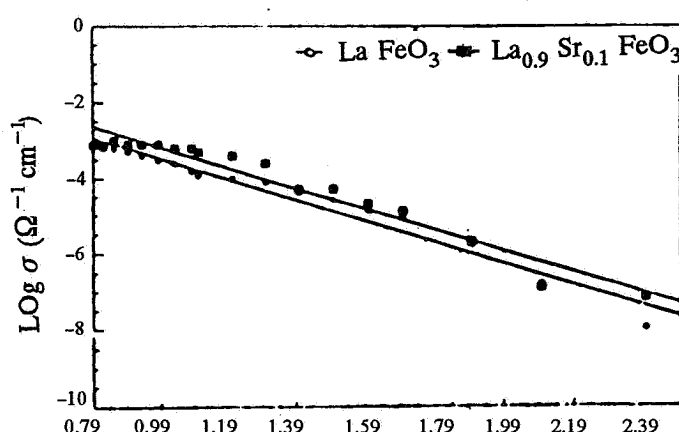
۳- الگوی پراش پرتو X پروسکیتهای مورد نظر که با درصد مولی متفاوتی از آلاینده Sr در محل لانتانیوم جایگزین شده اند نشان می دهد که کلیه ترکیبات LaCrO_3 با آلاینده Sr ساختار اورتورمبیک دارند.

استقلال، سال ۱۹، شماره ۲، اسفند ۱۳۷۹



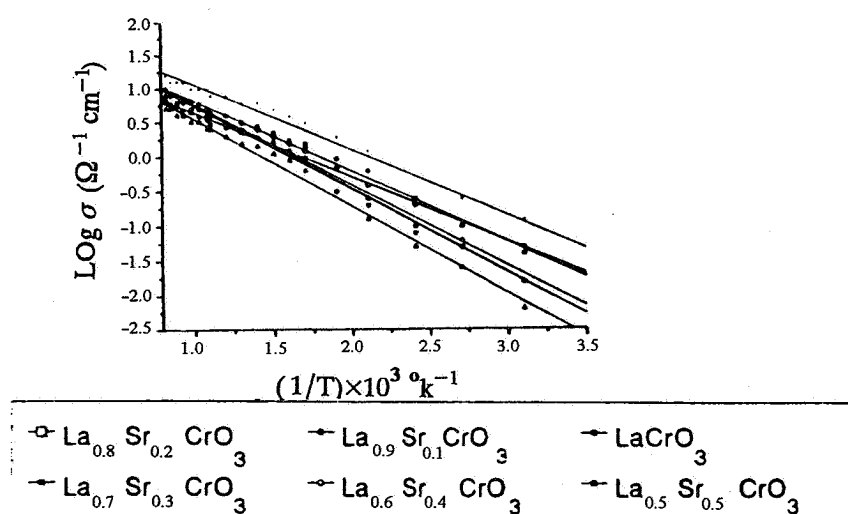
$$(1/T) \times 10^3 \text{ K}^{-1}$$

شکل ۱۳- نمودار $\log\sigma$ بر حسب عکس دما برای نمونه های $\text{La}_{1-x}\text{Sr}_x\text{MnO}_3$ با $x=0, 0.1$

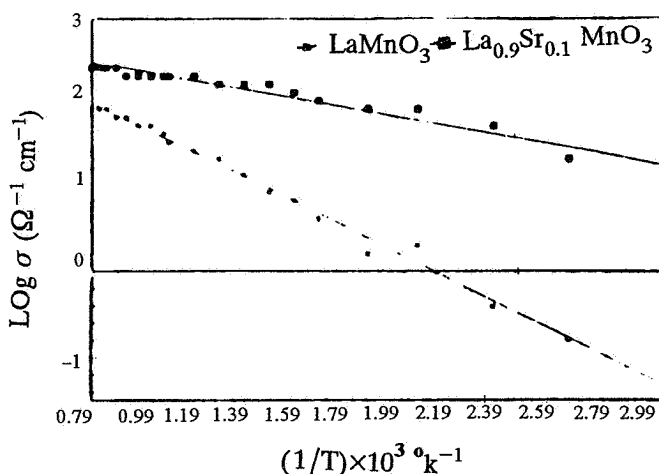


$$(1/T) \times 10^3 \text{ K}^{-1}$$

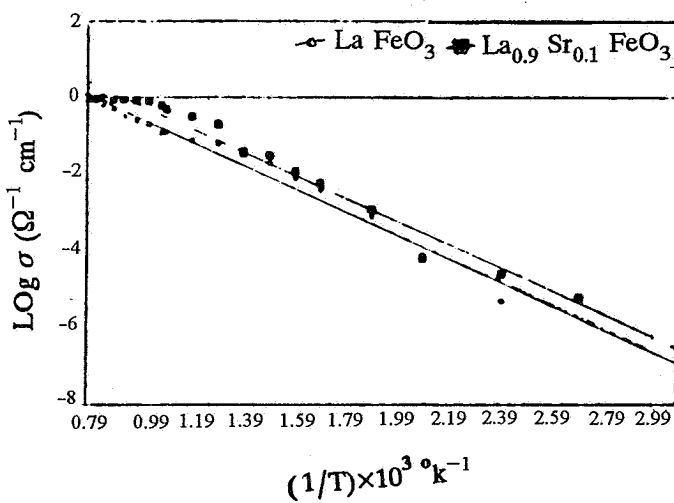
شکل ۱۴- نمودار $\log\sigma$ بر حسب عکس دما برای نمونه های $\text{La}_{1-x}\text{Sr}_x\text{FeO}_3$ با $x=0, 0.1$



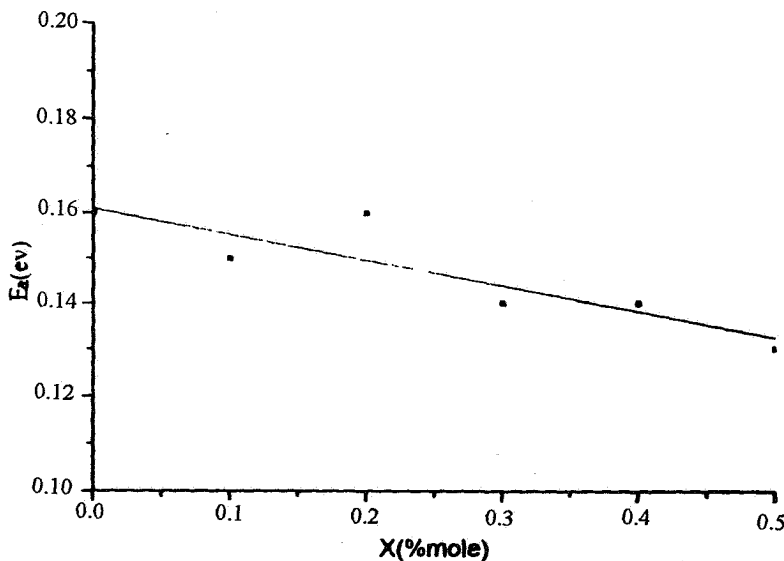
شکل ۱۵- نمودار $\log\sigma T$ بر حسب عکس دما برای نمونه های $\text{La}_{1-x}\text{Sr}_x\text{CrO}_3$ با $x=0, 0.5$



شکل ۱۶- نمودار $\log\sigma T$ بر حسب عکس دما برای نمونه‌های $\text{La}_{1-x}\text{Sr}_x\text{MnO}_3$ با $x=0, 0.1$



شکل ۱۷- نمودار $\log\sigma T$ بر حسب عکس دما برای نمونه‌های $\text{La}_{1-x}\text{Sr}_x\text{FeO}_3$ با $x=0, 0.1$



شکل ۱۸- تغییرات انرژی فعال سازی بر حسب مقدار آلاینده (x)

قدرتانی

در خاتمه از آقای دکتر اکبر تقی پور به خاطر راهنماییهای بسیاریگ و ارزنده ایشان و همچنین قبول زحمات و راهنماییهای سودمند و فراهم آوردن تسهیلات در امر این پژوهش صمیمانه تشکر می شود.

۵- نتایج به دست آمده از رسانایی ترکیبات سنتز شده نشان می دهد که رسانایی ترکیب LaMnO_3 بیشتر از LaCrO_3 بوده و رسانایی ترکیب LaFeO_3 نسبت به بقیه کمتر است.

۶- نتایج حاصل از رسانایی ترکیبات LaCrO_3 حاوی آلائیند Sr نشان می دهد که رسانایی ترکیب $\text{La}_{0.5}\text{Sr}_{0.5}\text{CrO}_3$ نسبت به بقیه ترکیبات بیشتر است.

واژه نامه

1. fourpoint probe

مراجع

1. Gallasso, F. S., *Structure, Properties and Preparation of Perovskite-type*, 1 st ed., pp. 3-7, 122-123, 143, Pergamon Press, 1969.
2. Bloor, D., Brook, R.J., Flemings, M.C., and Mahajan, S., *The Encyclopedia of Advanced Materials*, 1st ed., pp. 3, 1946-1951, Elsevier science Ld, 1994.
3. Koster, W.P., Longer E.L., and et.al., *Ceramic and Glasses, Engineering Materials Handbook*, Vol. 4, pp. 766-770, ASM International, 1990.
4. Muller, U., *Inorganic Structural Chemistry Copyright*, John Wiley and Sons, 1993.
5. Tamara, H., Yoneyama, H., and Matsumoto, Y., *Electrodes of Conductive Metallic Oxides*, ed. Sergio Trasatti, pp. 263-273, Elsevier Scientific Publishing Company, 1980.
6. Karim, D., and Aldred, T., "Localized Level Hopping Transport In $\text{La}(\text{Sr})\text{CrO}_3$," *Physical Review*, Vol. 20, No. 6, pp. 2255-2263, 1979.
7. Ralls, K. M., Courtney, T. H., and Wulff J., *Introduction to Materials Science and Engineering*, John Willey and Sons, P. 183, 1976.
8. *Annual Book of ASTM Standards*, pp. 305-307, Vol. 1501, 1991.
9. Minh, N.Q., and Takahashi, T., *Science and Technology of Ceramic Fuel Cells*, pp. 164-188, Elsevier, 1995.
10. Bansal, K.P., Kamar, S., Das, B. K., and Jain, G. C., "On Some Transport Properties of Strontium-Doped, Lanthanum Chromite Ceramic," *J. Material Science*, Vol. 18, pp. 2095-2100, 1993.
11. Bube, H., *Electronic Properties Of Crystalline Solids*, Academic Press, New York, 1974.